

# 聚合物封装的高灵敏度光纤光栅 压力传感器\*

刘云启 郭转运 刘志国 葛春风 赵东晖 董孝义

(南开大学现代光学研究所 天津 300071)

郑建成

(香港城市大学电子工程系 香港)

**摘要** 将光纤光栅封装于一种有机聚合物基底中，并对其压力传感特性和温度交叉敏感特性进行了研究，由于基底材料的带动作用，封装后的光纤光栅对于压力的灵敏度提高为裸光栅的 31.7 倍，压力灵敏系数可达 $-6.28 \times 10^{-5} / \text{MPa}$ 。这种技术不仅操作简单，而且同时具有压力增敏和保护光栅双重效果。

**关键词** 光纤布拉格光栅，弹性模量，压力传感器

## 1 引言

自从利用全息曝光法制作光纤光栅获得成功以来，国内外在光纤光栅制作技术、解调技术等方面开展了大量的工作。近年来，光纤光栅在光纤传感<sup>[1,2]</sup>方面的应用研究越来越受到人们的重视。光纤压力传感器在现代工业生产中有重要的应用价值，但光纤光栅对压力的敏感度较低，M. G. Xu 等<sup>[3]</sup>首先对裸露的光纤光栅的压力传感特性进行了研究，发现在 70 MPa 的高压下，光纤光栅中心反射波长仅移动 0.22 nm，因此需要设法提高光纤光栅的压力灵敏度。1996 年，M. G. Xu 等<sup>[4]</sup>将光纤光栅固定于中空的玻璃球结构中，使其对压力的敏感度提高了一个数量级，压力灵敏系数提高到 $-21.2 \times 10^{-6} / \text{MPa}$ ，但是这种方法存在光纤光栅在压缩过程中容易损坏的缺点，因此具有一定的局限性。

我们采用一种新颖的封装技术，将光纤光栅封装于一种有机聚合物基底中，利用基底的带动作用，将光纤光栅对压力的灵敏度提高了 31.7 倍，在 10 MPa 的压力范围内，光纤光栅中心反射波长的相对变化与外界压力呈良好的线性关系。这种技术操作简单，不仅能够有效提高光纤光栅的压力灵敏度，而且聚合物可以对光栅起保护作用，从而有效地克服光纤光栅脆弱易损坏的缺点。

## 2 基本原理

由耦合模理论可知，光纤布喇格光栅(FBG)的中心反射波长为

$$\lambda_B = 2n_{\text{eff}} \Lambda \quad (1)$$

\* 国家自然科学基金资助项目。

收稿日期：1998-10-12；收到修改稿日期：1998-12-18

式中  $n_{\text{eff}}$  为导模的有效折射率,  $\Lambda$  为光栅的周期。当光纤光栅只受应变  $\epsilon$  作用时, 其中心反射波长的相对变化为

$$\Delta \lambda_B / \lambda_B = (1 - P_e) \epsilon \quad (2)$$

式中  $P_e = n_{\text{eff}}^2 [P_{12} - \nu(P_{11} + P_{12})]/2$  为有效弹光系数;  $P_{11}, P_{12}$  为弹光系数;  $\nu$  为纤芯材料的泊松比。将光纤光栅封装于有机聚合物基底中, 并假设基底材料与光纤光栅紧密结合, 由文献 [5] 的分析可知, 由外界压力引起的各向同性应力在光纤中产生的应变量为

$$\epsilon = -p(1 - 2\mu)/E \quad (3)$$

式中  $\mu$  和  $E$  分别为聚合物材料的泊松比和弹性模量。所以光纤光栅中心反射波长的相对变化可以表示为

$$\Delta \lambda_B / \lambda_B = - (1 - P_e)(1 - 2\mu)p/E = k_p p \quad (4)$$

其中  $k_p = - (1 - P_e)(1 - 2\mu)/E$ , 定义为压力灵敏系数, 是一个仅与光纤参数和基底材料弹性特征有关的常数。由(4)式可知, 光纤布拉格光栅中心反射波长的相对变化与压力呈线性关系。对于所选用的基底材料,  $\mu = 0.35$ ,  $E = 3.5 \times 10^9 \text{ N/m}^2$ ,  $P_e = 0.22$ , 所以这种聚合物封装的光纤光栅传感器的压力灵敏度  $k_p = -6.68 \times 10^{-5}/\text{MPa}$ , 为相应裸光纤光栅的 33.7 倍。

### 3 实验与结果

实验所用的光纤布拉格光栅是利用位相掩模法制作的, 其中心反射波长为 1508.94 nm,

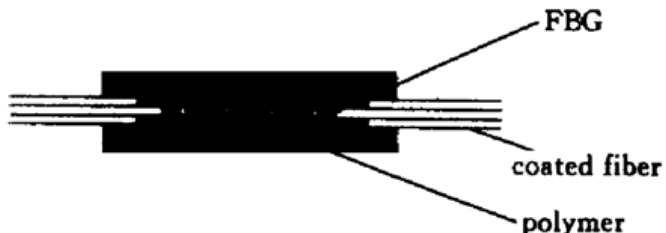


图 1 聚合物封装的光纤光栅压力传感头结构示意图

Fig. 1 Schematic diagram of fiber grating pressure sensor element with polymer jacket

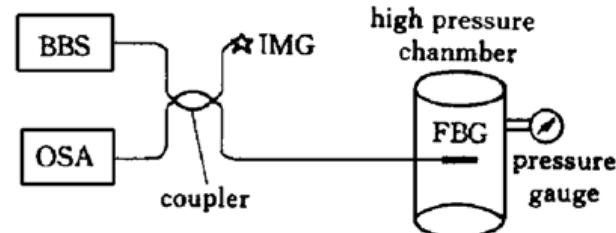


图 2 光纤光栅压力传感效应测试实验装置图

Fig. 2 Schematic diagram of experimental setup for pressure effect measurement

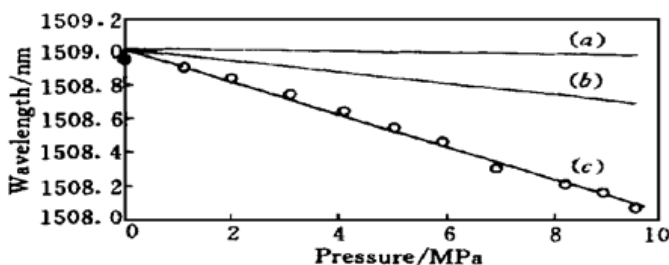


图 3 三种不同的光纤光栅压力传感器的压力响应曲线

(a) 裸光栅; (b) 玻璃球封装光栅; (c) 聚合物封装光栅

Fig. 3 Pressure response of three different FBG pressure sensor

(a) bare grating; (b) grating with glass bubble housing;  
(c) grating with polymer jacket

峰值反射率为 75%, 光栅长度约为 15 mm。如图 1 所示, 将光纤光栅封装于聚合物基底中, 聚合物做成  $10 \text{ mm} \times 15 \text{ mm} \times 50 \text{ mm}$  的柱体形状, 光纤光栅位于柱体的中心, 封装后的光纤光栅就是一种新颖的压力传感头。图 2 为光纤光栅压力传感测试的实验装置示意图, 其中 BBS 为宽带光源, OSA 为光谱分析仪 (AV6361 型), IMG 为折射率匹配液。宽带光源发出的光入射到压力传感头中, 由光纤光栅 (FBG) 反射的光经 3 dB 耦合器进入光谱分析仪, 高压压力罐中压力的大小由 YQY-80 型压力表测量。

在 0~10 MPa 的压力范围内, 测得聚合物封装的光纤光栅压力传感器的压力响应曲线如图 3(c) 所示, 图 3(a), (b) 分别为文献报道的裸光栅<sup>[3]</sup> 和用中空玻璃球固定的光纤光栅<sup>[4]</sup> 的压力响应曲线。由图 3 可知, 传感头的压力响应曲线具有良好的线性度, 由数据拟合可知压力灵敏系数  $k_p = -6.28 \times 10^{-5} / \text{MPa}$ , 为裸光栅的 31.7 倍<sup>[3]</sup>, 与理论分析的结果基本相符, 测量误差主要是由于压力表的读数误差所致。

## 4 分析与讨论

采用这种简单新颖的技术, 将光纤光栅封装于有机聚合物基底中, 利用基底的带动作用, 将光纤光栅对压力的灵敏度提高了 31.7 倍。但是光纤光栅压力传感器存在温度交叉敏感问题, 外界温度的变化将对压力的测量产生一定的影响, 因此在压力测量过程中必须进行温度补偿。

由文献[6]的分析可知, 当光纤光栅固定于与其热膨胀系数不同的基底中时, 其中心波长的相对变化与温度的关系为

$$\frac{\Delta \lambda_B}{\lambda_B} = (k_T + B k_e) \Delta T \quad (5)$$

其中  $k_T$  为光纤光栅反射波长的温度灵敏系数,  $k_e$  为光纤光栅反射波长的应变量灵敏系数,  $B$  为基底的热膨胀系数。对于我们所选的聚合物材料,  $B = 6.6 \times 10^{-5} / ^\circ\text{C}$ , 对于一般情况下的光纤光栅,  $k_T = 6.72 \times 10^{-6} / ^\circ\text{C}$ <sup>[3]</sup>,  $k_e = 7 \times 10^7 / \mu\text{e}$ <sup>[7]</sup>。由以上数据可得, 光纤光栅的温度灵敏度将为裸光纤光栅的 7.9 倍。利用水浴加热的方法, 在 3~77 °C 的温度范围内测定了压力传感头的温度响应曲线, 如图 4 所示, 由数据拟合可知其温度灵敏系数为 0.081 nm/ °C, 对应于光栅中心波长 1508.94 nm, 温度灵敏系数可以写为  $5.36 \times 10^{-5} / ^\circ\text{C}$ , 为相应裸光栅的 7.9 倍<sup>[3]</sup>, 与理论分析的结果基本相符。

由以上的分析可知, 聚合物封装的光纤光栅压力传感器在具有较高压力灵敏度的同时, 其温度交叉敏感性对压力测量的影响也有一定程度的增大, 但是封装技术改变了光纤光栅压力和温度灵敏度的相对大小, 因此将封装后的光纤光栅与裸光栅相结合, 通过矩阵运算即可实现压力和温度的同时测量<sup>[8]</sup>。

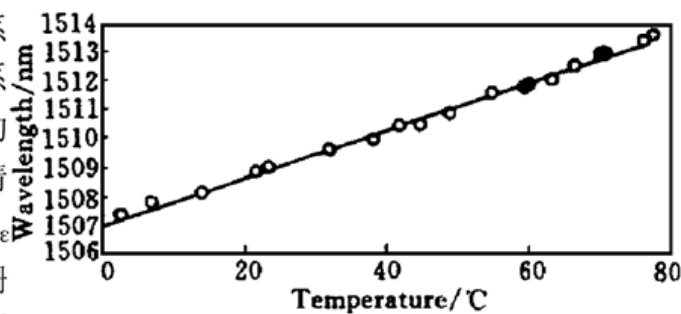


图 4 聚合物封装的 FBG 压力传感器的温度响应曲线

Fig. 4 Temperature response of FBG pressure sensor with polymer jacket

## 参 考 文 献

- 1 W. W. Morev, G. Meltz, W. H. Glenn. Fiber optic Bragg grating sensors. *Proc. SPIE*, 1989, **1169**: 98~107
- 2 A. D. Kersey, M. A. Davis, H. J. Patrick et al.. Fiber grating sensors. *J. Lightwave Technol.*, 1997, **15**(8): 1442~1463
- 3 M. G. Xu, L. Reekie, Y. T. Chow et al.. Optical fibre grating high pressure sensor. *Electron. Lett.*, 1993, **29**(4): 398~399
- 4 M. G. Xu, H. Geiger, J. P. Dakin. Fiber grating pressure sensor with enhanced sensitivity using a glass bubble.

- ble housing. *Electron. Lett.*, 1996, **32**(2): 128~ 129
- 5 G. B. Hocker. Fiber optic sensing of pressure and temperature. *Appl. Opt.*, 1979, **18**(9): 1445~ 1448
- 6 Du Weichongs, H. Y. Tam, M. S. Demokan *et al.*. A simple method to enhance temperature sensitivity of fiber Bragg grating. *Chinese J. Lasers* (中国激光), 1997, **A24**(1): 75~ 77 (in Chinese)
- 7 G. W. Yoffe, P. A. Krug, F. Ouellette *et al.*. Passive temperature compensating package for optical fiber gratings. *Appl. Opt.*, 1995, **34**(30): 6859~ 6861
- 8 M. G. Xu, J.-L. Archambault, L. Reekie *et al.*. Discrimination between strain and temperature effects using dual-wavelength fibre grating sensors. *Electron. Lett.*, 1994, **30**(13): 1085~ 1087

## High-sensitivity Fiber Grating Pressure Sensor with Polymer Jacket

Liu Yunqi Guo Zhuanyun Liu Zhiguo

Ge Chunfeng Zhao Donghui Dong Xiaoyi

(Institute of Modern Optics, Nankai University, Tianjin 300071)

K. S. Chiang

(Department of Electronic Engineering, City University of Hong Kong, Hong Kong)

**Abstract** The pressure and the cross-temperature properties of the fiber grating pressure sensor with a polymer jacket is studied. Because of the driving effect of the polymer substrate, the measured pressure sensitivity is increased by more than 31.7 times than that of a bare fiber grating.

**Key words** fiber Bragg grating, elasticity modulus, pressure sensor